

Starkniederschlagshöhen und -spenden gemäß KOSTRA-DWD-2010R

Auswertungszeitraum von 1951 - 2010, Januar - Dezember

Rasterfeld: 95033

Zeile: 95

Spalte: 33

Seite: 1/2

| Dauerstufe D | Wiederkehrzeit T | | | | | | | | | | | | | | | | | | |
|--------------|------------------|------|------------|------|------------|------|------------|------|------------|------|------------|-------|------------|-------|------------|-------|------------|-------|------------|
| | 1 a | | 2 a | | 3 a | | 5 a | | 10 a | | 20 a | | 30 a | | 50 a | | 100 a | | |
| min | Std | mm | l / (s ha) | mm | l / (s ha) | mm | l / (s ha) | mm | l / (s ha) | mm | l / (s ha) | mm | l / (s ha) | mm | l / (s ha) | mm | l / (s ha) | mm | l / (s ha) |
| 5 | | 5,2 | 173,3 | 6,9 | 230,0 | 7,9 | 263,3 | 9,1 | 303,3 | 10,8 | 360,0 | 12,4 | 413,3 | 13,4 | 446,7 | 14,6 | 486,7 | 16,3 | 543,3 |
| 10 | | 8,3 | 138,3 | 10,7 | 178,3 | 12,0 | 200,0 | 13,8 | 230,0 | 16,1 | 268,3 | 18,4 | 306,7 | 19,8 | 330,0 | 21,5 | 358,3 | 23,8 | 396,7 |
| 15 | | 10,4 | 115,6 | 13,2 | 146,7 | 14,9 | 165,6 | 17,0 | 188,9 | 19,8 | 220,0 | 22,7 | 252,2 | 24,4 | 271,1 | 26,5 | 294,4 | 29,3 | 325,6 |
| 20 | | 11,9 | 99,2 | 15,1 | 125,8 | 17,1 | 142,5 | 19,5 | 162,5 | 22,7 | 189,2 | 26,0 | 216,7 | 27,9 | 232,5 | 30,3 | 252,5 | 33,6 | 280,0 |
| 30 | | 13,8 | 76,7 | 17,8 | 98,9 | 20,1 | 111,7 | 23,1 | 128,3 | 27,1 | 150,6 | 31,1 | 172,8 | 33,4 | 185,6 | 36,3 | 201,7 | 40,3 | 223,9 |
| 45 | | 15,5 | 57,4 | 20,4 | 75,6 | 23,2 | 85,9 | 26,8 | 99,3 | 31,7 | 117,4 | 36,5 | 135,2 | 39,4 | 145,9 | 42,9 | 158,9 | 47,8 | 177,0 |
| 60 | | 16,5 | 45,8 | 22,1 | 61,4 | 25,4 | 70,6 | 29,5 | 81,9 | 35,1 | 97,5 | 40,7 | 113,1 | 44,0 | 122,2 | 48,1 | 133,6 | 53,7 | 149,2 |
| 90 | | 18,5 | 34,3 | 24,4 | 45,2 | 27,8 | 51,5 | 32,1 | 59,4 | 38,0 | 70,4 | 43,8 | 81,1 | 47,2 | 87,4 | 51,6 | 95,6 | 57,4 | 106,3 |
| 120 | 2 | 20,1 | 27,9 | 26,2 | 36,4 | 29,7 | 41,3 | 34,1 | 47,4 | 40,2 | 55,8 | 46,2 | 64,2 | 49,8 | 69,2 | 54,2 | 75,3 | 60,2 | 83,6 |
| 180 | 3 | 22,6 | 20,9 | 28,9 | 26,8 | 32,6 | 30,2 | 37,2 | 34,4 | 43,6 | 40,4 | 49,9 | 46,2 | 53,6 | 49,6 | 58,2 | 53,9 | 64,5 | 59,7 |
| 240 | 4 | 24,5 | 17,0 | 31,0 | 21,5 | 34,8 | 24,2 | 39,7 | 27,6 | 46,2 | 32,1 | 52,7 | 36,6 | 56,5 | 39,2 | 61,3 | 42,6 | 67,8 | 47,1 |
| 360 | 6 | 27,5 | 12,7 | 34,3 | 15,9 | 38,3 | 17,7 | 43,3 | 20,0 | 50,2 | 23,2 | 57,0 | 26,4 | 61,0 | 28,2 | 66,0 | 30,6 | 72,8 | 33,7 |
| 540 | 9 | 30,9 | 9,5 | 38,0 | 11,7 | 42,2 | 13,0 | 47,4 | 14,6 | 54,6 | 16,9 | 61,7 | 19,0 | 65,9 | 20,3 | 71,1 | 21,9 | 78,2 | 24,1 |
| 720 | 12 | 33,6 | 7,8 | 40,9 | 9,5 | 45,2 | 10,5 | 50,6 | 11,7 | 58,0 | 13,4 | 65,3 | 15,1 | 69,6 | 16,1 | 75,0 | 17,4 | 82,4 | 19,1 |
| 1080 | 18 | 37,7 | 5,8 | 45,4 | 7,0 | 49,9 | 7,7 | 55,5 | 8,6 | 63,2 | 9,8 | 70,9 | 10,9 | 75,4 | 11,6 | 81,1 | 12,5 | 88,7 | 13,7 |
| 1440 | 24 | 40,9 | 4,7 | 48,8 | 5,6 | 53,5 | 6,2 | 59,3 | 6,9 | 67,2 | 7,8 | 75,2 | 8,7 | 79,8 | 9,2 | 85,7 | 9,9 | 93,6 | 10,8 |
| 2880 | 48 | 51,4 | 3,0 | 60,4 | 3,5 | 65,6 | 3,8 | 72,2 | 4,2 | 81,1 | 4,7 | 90,1 | 5,2 | 95,3 | 5,5 | 101,9 | 5,9 | 110,8 | 6,4 |
| 4320 | 72 | 58,8 | 2,3 | 68,3 | 2,6 | 73,9 | 2,9 | 80,9 | 3,1 | 90,4 | 3,5 | 100,0 | 3,9 | 105,6 | 4,1 | 112,6 | 4,3 | 122,1 | 4,7 |

Angaben in mm: Bemessungsniederschlagswerte h(n)

Angaben in l / (s ha): Regenspende R(n) mit $R(n) = h(n) \times 1,666667 / D[\text{min}]$

Toleranzbereiche:

+/- 10 % für $1 \text{ a} \leq T \leq 5 \text{ a}$

+/- 15 % für $5 \text{ a} < T \leq 50 \text{ a}$

+/- 20 % für $50 \text{ a} < T \leq 100 \text{ a}$

Datenbasis: KOSTRA-DWD-2010R des Deutschen Wetterdienstes. Die Regenspende wurde auf Basis des Bemessungsniederschlags zur jeweiligen Andauer berechnet.

Für die Richtigkeit und Aktualität der Angaben wird keine Gewähr übernommen. Erstellt 07/2022.

Starkniederschlagshöhen und -spenden gemäß KOSTRA-DWD-2010R

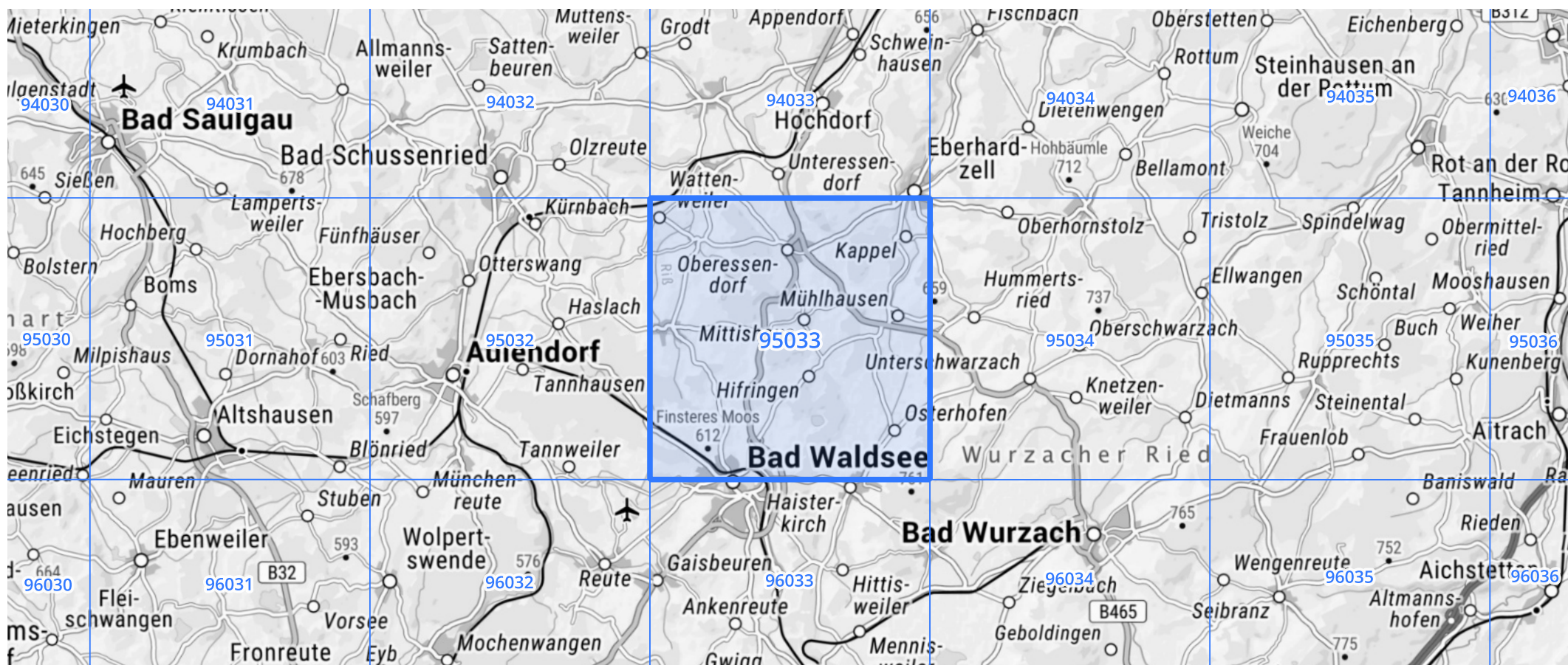
Auswertungszeitraum von 1951 - 2010, Januar - Dezember

Rasterfeld: 95033

Zeile: 95

Spalte: 33

Seite: 2/2



Quelle Rasterdaten: KOSTRA-DWD-2010R des Deutschen Wetterdienstes.

Kartendarstellung: © Bundesamt für Kartographie und Geodäsie (2022), Datenquellen: https://sgx.geodatenzentrum.de/web_public/gdz/datenquellen/Datenquellen_TopPlusOpen.html

Für die Richtigkeit und Aktualität der Angaben wird keine Gewähr übernommen. Erstellt 07/2022.